

УДК 550.388.8

СРЕДНЕШИРОТНЫЕ СИЯНИЯ НА ЮГЕ ВОСТОЧНОЙ СИБИРИ ВО ВРЕМЯ БОЛЬШИХ ГЕОМАГНИТНЫХ БУРЬ 29–31 ОКТЯБРЯ И 20–21 НОЯБРЯ 2003 г.

© 2004 г. А. В. Михалев, А. Б. Белецкий, Н. В. Костылева, М. А. Черниговская

Институту солнечно-земной физики СО РАН, г. Иркутск

e-mail: mikhalev@iszf.irk.ru

Поступила в редакцию 23.03.2004 г.

Анализируются предварительные результаты оптических наблюдений среднеширотных сияний в геофизической обсерватории ИСЗФ СО РАН на юге Восточной Сибири (52° N, 103° E) в период двух больших магнитных бурь 29–31.X и 20–21.XI.2003 г. Результаты наблюдений сопоставляются с аналогичными данными среднеширотных сияний, наблюдавшихся в геофизической обсерватории в предшествующие годы. Зарегистрированные максимальные интенсивности атмосферных эмиссий и сопутствующая гелио-геофизическая обстановка позволяют сделать вывод, что анализируемые среднеширотные сияния по оптическому проявлению могут быть отнесены к экстремально наблюдавшимся в средних широтах.

ВВЕДЕНИЕ

Статистика инструментальных наблюдений среднеширотных сияний (СС) при больших уровнях геомагнитных возмущений ($D_{st} \leq -350$ – -400 нТл) ограничена и исчисляется единицами [1]. В силу этого некоторые особенности наблюдаемых среднеширотных форм сияний остаются предметом исследований ряда работ [2, 3]. Одной из целей этих исследований может быть аналог хорошо разработанной и широко используемой для высоких широт концепции аврорального овала, в которой полярные сияния являются средством надежной и точной локализации положения вторжения в атмосферу потоков энергии частиц из магнитосфера Земли.

В настоящей работе представлены предварительные результаты оптических наблюдений СС во время двух больших геомагнитных бурь 29–31.X и 20–21.XI.2003 г. в геофизической обсерватории Института солнечно-земной физики (ИСЗФ) СО РАН на юге Восточной Сибири (52° N, 103° E).

АППАРАТУРА И УСЛОВИЯ НАБЛЮДЕНИЙ

Измерения оптического излучения верхней атмосферы проводились с помощью зенитных фотометров с интерференционными катающимися светофильтрами ($\Delta\lambda_{1/2} \sim 1$ – 2 нм) в линиях излучения 558 и 630 нм. Также регистрировалось излучение в ближней инфракрасной (720–830 нм) и ультрафиолетовой (360–410 нм) областях спектра. Спектральные диапазоны 360–410 и 720–830 нм выделялись абсорбционными светофильтрами. Угловые поля зрения каналов фотометра составляли 4 – 5° . Абсолютная калибровка измеритель-

ных трактов аппаратуры осуществлялась ранее по эталонным звездам и контролировалась с помощью опорных световых источников в вечерние и утренние часы наблюдений. Программное обеспечение фотометра позволяло записывать данные фотометрических каналов с усреднением ~ 12 с. При появлении импульсных сигналов, превышающих заданный порог, имелась возможность записывать сигналы с временным разрешением ~ 8 мс.

Оптические наблюдения 29–31.X.2003 г. проводились в условиях сплошной облачности. Это обстоятельство могло привести к двум эффектам. Во-первых, из-за поглощения облачностью регистрируемые у поверхности Земли светимости атмосферных эмиссий должны иметь значения ниже светимостей на высотах высвечивания этих эмиссий и, соответственно, ниже регистрируемых светимостей в условиях возможной ясной погоды в эти интервалы наблюдений. Во-вторых, из-за рассеяния излучения облачностью на большие углы эффективное поле зрения каналов фотометра могло иметь существенно большие величины. Это могло привести к регистрации излучения с более высокоширотных областей относительно места локализации станции наблюдения (≥ 1 – 2° широты). Реальный учет поглощения облачностью от протяженного источника атмосферного излучения представляет собой довольно сложную задачу, зависящую от многих факторов. Поэтому на предварительном этапе для оценки величины поглощения облачностью и возможности приведения зарегистрированных интенсивностей свечения атмосферных эмиссий 29 и 30.X.2003 г. к условиям ясного неба и последующего их сопо-

ставления с другими среднеширотными сияниями была проведена оценка типичного поглощения излучения облачностью. Были выбраны 4 ночи, соответствующие этому же сезону, с быстрой (не более 40 мин) сменой метеорологической обстановки (ясно—облачно). Для этих ночей было осуществлено сопоставление регистрируемых интенсивностей в атмосферных эмиссиях 558 и 630 нм для ясных и облачных интервалов наблюдений и соответственно определены коэффициенты поглощения облачностью. Полученные таким образом коэффициенты поглощения составили следующие минимальные, максимальные и средние значения, соответственно, для эмиссии 558 нм – 1.57, 2.6 и 1.92; для эмиссии 630 нм – 1.5, 2.46 и 1.85. Оценочные коэффициенты поглощения облачностью использовались далее для приведения зарегистрированных значений интенсивностей в условиях облачности к условиям, соответствующих ясному небу.

Оптические наблюдения 19–23.XI.2003 г. проводились в условиях ясного неба.

РЕЗУЛЬТАТЫ НАБЛЮДЕНИЙ

В геофизической обсерватории ИСЗФ СО РАН среднеширотные сияния были зарегистрированы 29, 30.Х и 20.XI.2003 г. Среднеширотным сияниям 29 и 30.Х.2003 г. предшествовали две сильнейших солнечных вспышек класса X17.2 и X10.0, соответственно, 28 и 29.Х.2003 г. Указанные вспышки относятся к наиболее мощным солнечным вспышкам, зарегистрированным с 1976 г. (<http://www.spaceweather.com/solarflares/top-flares.html>), которые послужили источником двух последовательных больших геомагнитных бурь 29 и 30.Х.2003 г. с минимальными значениями D_{st}^{\min} индекса, соответственно, -345 и -401 нТл и максимальным K_p индексом 9₀.

Среднеширотному сиянию 20.XI.2003 г. предшествовала серия солнечных вспышек 17–18.XI класса M, которая послужила источником сильнейшей в этом цикле солнечной активности магнитной бури с $D_{st}^{\min} = -465$ нТл и $K_p = 9$.

На рис. 1а, б представлены распределения D_{st} и K_p индексов и общий вид поведения атмосферной эмиссии 630 нм в геофизической обсерватории ИСЗФ СО РАН для этих магнитных бурь. На рис. 2 и 3 представлено более детально поведение зенитных интенсивностей атмосферных эмиссий 558 и 630 нм для ночи 30.Х и 20.XI.2003 г., когда отмечались наибольшие возмущения в регистрируемых эмиссиях. Для 20.XI также приведено поведение оптического потока в спектральной полосе 360–410 нм.

ОБСУЖДЕНИЕ

Для всех трех описываемых СС начало роста интенсивности эмиссии 630 нм (J_{630}) и максимальных значений J_{630} соответствует главным фазам магнитных бурь. Среднеширотное сияние 20.XI захватывает начало фазы восстановления. Доминирующей эмиссией СС 29 и 30.Х.2003 г. является эмиссия 630 нм. Небольшие вариации эмиссии 558 нм и световых потоков в спектральных каналах 360–410 нм и 720–830 нм отмечаются в интервалы времени резких увеличений интенсивности эмиссии 630 нм. В среднеширотном сиянии 20.XI второй доминирующей эмиссией является эмиссия 558 нм, возмущения которой оказываются сдвинуты по времени относительно возмущений эмиссии 630 нм. Вариации в спектральных каналах 360–410 нм и 720–830 нм в большей степени повторяют вариации эмиссии 558 нм.

Максимальные значения J_{630} для рассматриваемых среднеширотных сияний отмечаются во вторую половину ночи. Эта особенность регистрации СС в периоды главных фаз магнитных бурь в геофизической обсерватории ИСЗФ СО РАН уже отмечалась в работах [4, 5]. Во многих работах в качестве геомагнитного индекса, наиболее тесно коррелирующего с интенсивностью эмиссии 630 нм при геомагнитных возмущениях, указывают D_{st} -индекс в сочетании с другими индексами солнечной и геомагнитной активности [6, 7]. Поэтому наблюданная особенность регистрации СС в работах [4, 5] связывалась с выраженной зависимостью от времени D_{st} -индекса вариаций геомагнитного поля во время геомагнитных возмущений.

В таблице приведены максимальные значения K_p -индекса (K_p^{\max}), A_p -индексы, минимальные значения D_{st} -индекса (D_{st}^{\min}) в течение бури и максимальные значения зенитных интенсивностей эмиссий 558 и 630 нм ($J_{558 \text{ нм}}^{\max}$ и $J_{630 \text{ нм}}^{\max}$) во время СС, зарегистрированных в геофизической обсерватории ИСЗФ СО РАН в последние годы. Для СС 29 и 30.Х.2003 г. в колонке интенсивностей эмиссий 630 нм кроме зарегистрированных значений в скобках приведены вероятностные значения интенсивностей, приведенные к условиям ясного неба, оцененные описанным выше методом.

Результаты таблицы позволяют сделать два вывода. Во-первых, зарегистрированные максимальные интенсивности эмиссий 630 нм во время СС 30.Х и 20.XI.2003 г. имеют наибольшие значения за весь период проведения оптических наблюдений в геофизической обсерватории ИСЗФ СО РАН (1989–1993 и 1997–2003 гг.). Это относится и к возмущению эмиссии 558 нм, зарегистрированному во время СС 20.XI.2003 г. Во-вторых, максимально регистрируемые значения интенсивности

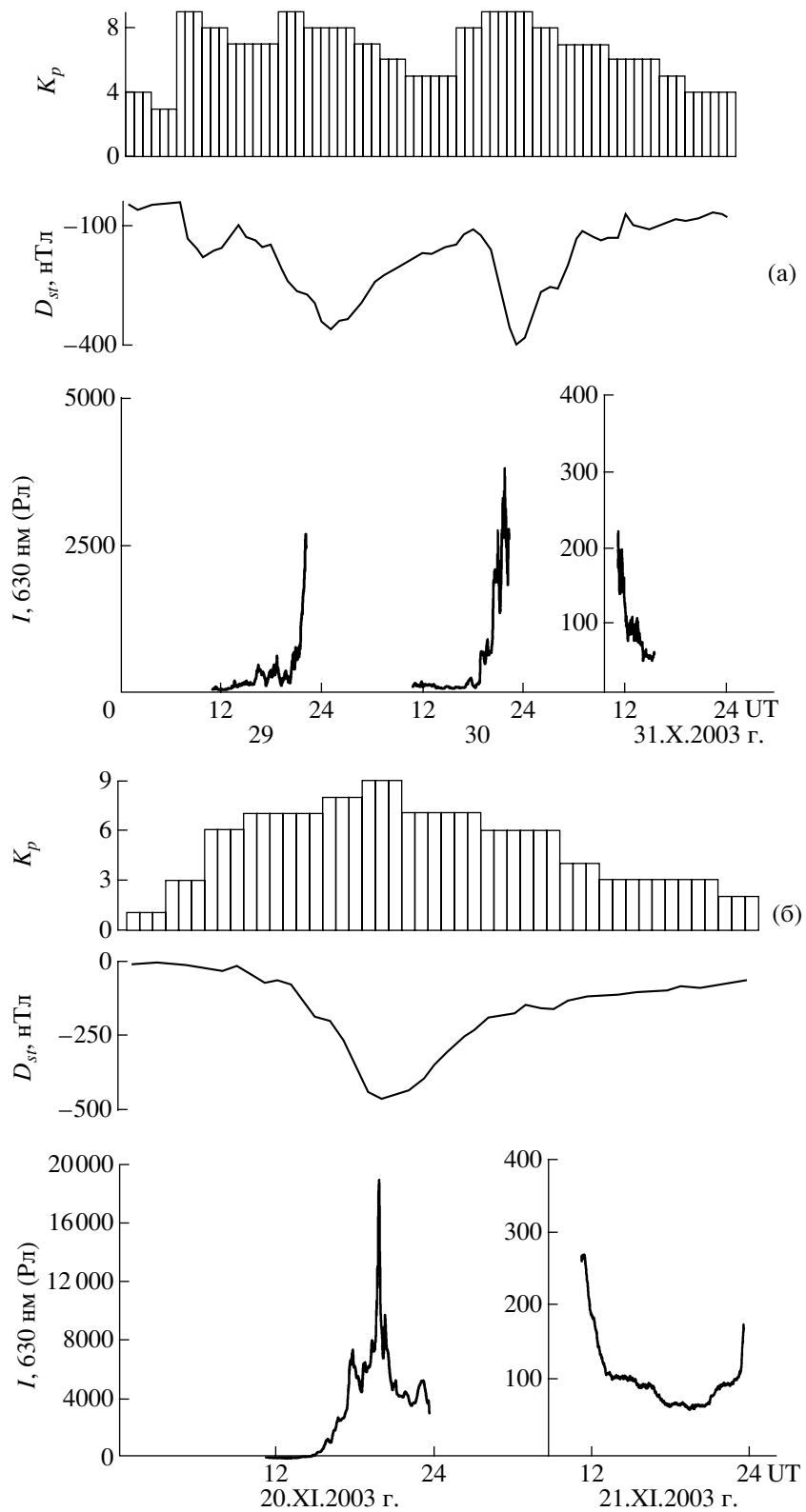


Рис. 1.

в большей степени коррелируют с D_{st} , чем с K_p -индексом. Последнее может также иллюстрировать рис. 4, где приведена зависимость прираще-

ния интенсивности эмиссии 630 нм от максимальных значений D_{st} -индекса для геофизической обсерватории ИСЗФ СО РАН для различных

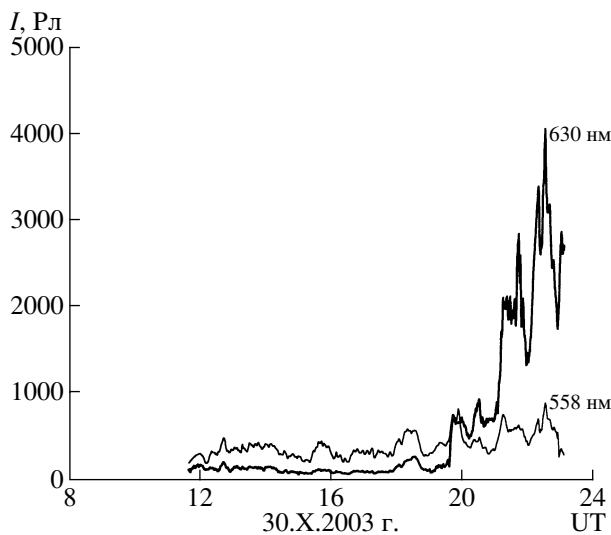


Рис. 2.

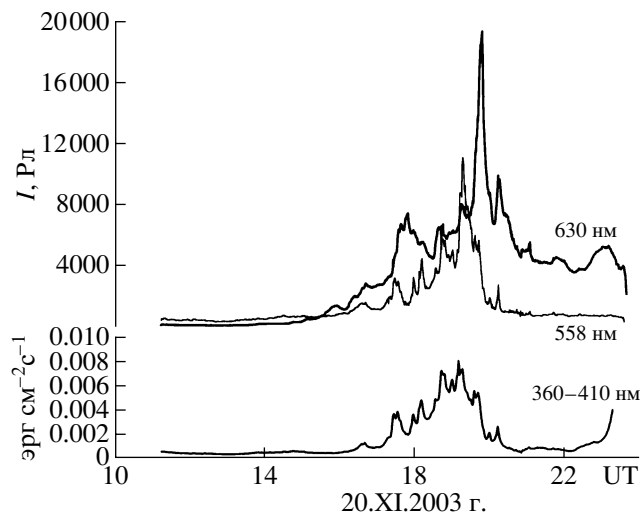


Рис. 3.

уровней геомагнитно возмущенных дней (экспериментальные точки и линейная аппроксимация, прямая 1). На этом же рисунке штриховой линией (2) для сравнения приведена зависимость эмиссии 630 Нм от одновременных индексов D_{st} из работы [6] для обсерватории Верхний Прованс.

Согласно [2], основные типы среднеширотных сияний с доминирующей эмиссией 630 нм проецируются в область плазмопаузы. Широтное местоположение станции наблюдения определяет возможность последовательной регистрации среднеширотных и субавроральных ионосферных структур и их оптических проявлений с ростом магнитной активности. При достаточно сильных геомагнитных возмущениях это, в первую очередь, должно приводить к переходу от области

среднеширотного свечения атмосферы к области диффузного свечения, расположенной экваториальнее аврорального овала и охватывающей пространственные размеры 3–5° широты и более [12]. При этом, согласно [13], могут выделяться более “тонкие” плазменные границы на высотах верхней атмосферы и их естественные проекции в магнитосферу: свечение ночного неба – плазмосфера, экваториальная граница слабой диффузной авроральной эмиссии – плазмопауза, диффузная авроральная зона – остаточный плазменный слой и район кольцевого тока. В этом случае зависимость J_{630} от D_{st} -индекса во время геомагнитных бурь имеет физическую интерпретацию, связанную с взаимодействием усиливающего кольцевого тока (который и определяет D_{st} -вариации)

Таблица

Дата	Тип бури	K_p^{\max}	A_p	D_{st}^{\min} , нТл	$J_{630 \text{ нм}}^{\max}$, кРл	$J_{558 \text{ нм}}^{\max}$, кРл	Фаза бури
24.III.1991	G4	9–	161	−281	~2.6		Гл
25.III.1991	G4	9–	130	−298	~0.6		Вс
3.II.1992	G4	8–	92	−170	~0.3		Вс
6.IV.2000	G4	8+	82	−287	~2.77		Гл
7.IV.2000	G4	9–	74	−288	~0.24		Вс
31.III.2001	G4	9–	192	−358	~3.1	~1.5	Вс
21.X.2001	G4	8–	57	−166	~0.57		Гл
22.X.2001	G4	7+	96	−166	~0.67		Вс
29.X.2003	G4	9–	204	−345	≥2.9 (4.3–7.1)		Гл
30.X.2003	G5	9 ₀	191	−401	≥4.3 (6.4–10.5)		Гл
20.XI.2003	G4	9–	150	−429	~19.4	~11.1	Гл

Обозначения: Гл – главная фаза магнитной бури, Вс – фаза восстановления магнитной бури.

с плазмосферой, результатом которого могут быть усиления потоков плазмы из плазмосферы в ионосферу (F2-область) и ее нагрев.

Таким образом, величина D_{st}^{\min} при других равных магнито-ионосферных условиях, может служить параметром, позволяющим сопоставлять регистрируемые или ожидаемые J_{630} в периоды СС в конкретной широтно-долготной зоне при различных магнитных бурях. В отношении магнитной бури 20.XI, с минимальным значением $D_{st}^{\min} = -465$ нТл, можно заметить, что в период 1957–2003 гг. только одна магнитная бура (13–14.III.1989 г.) имела меньшие значения D_{st}^{\min} . Геомагнитная бура 11.II.1958 г., которая сопровождалась знаменитым планетарным среднеширотным сиянием, имела минимальное значение D_{st} -индекса –426 нТл.

Вызывает определенный интерес появление в спектре СС 20.XI.2003 г. интенсивной эмиссии 558 нм, величина которой в максимуме возмущения превысила значения 11 кРл. Ранее нами уже сообщалось о регистрации в средних широтах возмущения этой эмиссии (до значений ~1.5 кРл) в период суббуревых возмущений во время большой магнитной бури 31.III.2001 г. [8, 9]. В работах [8, 9] возмущения эмиссии 558 нм связывалось с высыпанием электронов авроральных энергий.

Следует отметить, что в работе [2], где предлагается классификация наблюдаемых типов среднеширотных сияний, эмиссия 558 нм не указывается в качестве доминирующей эмиссии ни в одном из обсуждаемых типов среднеширотных сияний. Вероятно, такие возмущения эмиссии 558 нм в средних широтах характерны только для интенсивных магнитных бурь, и статистика их наблюдений также ограничена. Авторам удалось обнаружить только одну работу, в которой описывается аналогичное возмущение эмиссии 558 нм в период магнитной бури в более низких широтах. Так в работе [10] в период интенсивной магнитной бури 21.X.1989 г. ($K_p^{\max} = 8_+$, $D_{st}^{\min} = -268$ нТл) в северной части небосвода на о. Хоккайдо (44° N, 142° E) отмечалось интенсивное красное среднеширотное сияние. Интенсивность эмиссии 558 нм оставалась на обычном уровне, за исключением резкого всплеска в течение ~8 мин. По мнению авторов [10], подобные сияния на таких низких широтах наблюдаются раз в 20 лет.

Возмущения в спектральном диапазоне 360–410 нм могут быть интерпретированы как появление эмиссии N_2^+ (1NG) с длиной волны 319.4 нм, обычно наблюдавшейся в полярных сияниях в результате ионизации высыпающими электронами молекулярного азота. Здесь уместным будет отметить, что, согласно [12], в диффузном свечении

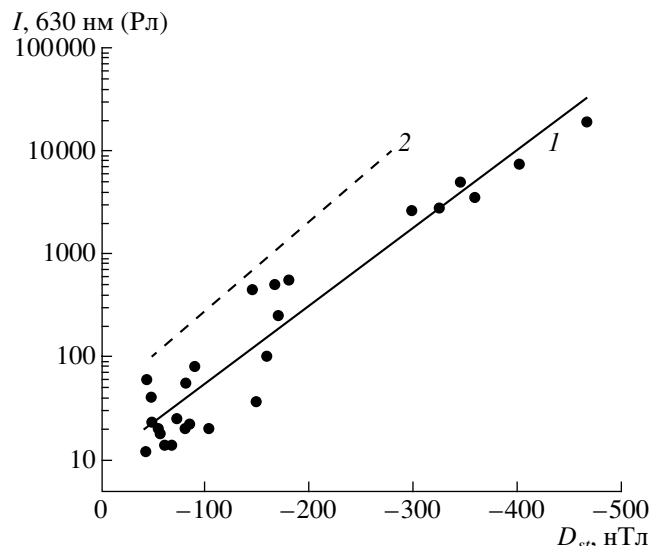


Рис. 4.

практически отсутствует свечение в полосе N_2^+ (1NG), а интенсивность эмиссии 630 нм в 4 раза выше интенсивности эмиссии 558 нм, что указывает о мягкости спектра вторгающихся электронов в диффузном свечении. Во время СС 20.XI.2003 г. интенсивность эмиссии 558 нм в отдельный интервал времени превышала интенсивность эмиссии 630 нм, что косвенно может указывать, как и во время магнитной бури 31.III.2001 г. [8, 9], на высыпание электронов авроральных энергий. В этом случае наблюдаемое СС 20.XI обладает особенностями типичными для обычных полярных сияний.

Согласно [1], обычные полярные сияния не опускаются ниже широт, соответствующих L -оболочкам ~ 2.7 . По данным NOAA (<http://www.sec.noaa.gov/Aurora/index/html>) экваториальная граница полярных сияний при максимальном уровне геомагнитных возмущений в азиатском регионе соответствует $\sim 48^\circ$ исправленной геомагнитной широты. Исправленная геомагнитная широта 47° и соответствующая L -оболочка ($L \sim 2$) станции наблюдения геофизической обсерватории указывают на более значительные смещения ионосферных и магнитосферных структур в период магнитной бури 20–21.XI.2003 г., возможно соответствующих предельному сжатию магнитосферы [1].

ВЫВОДЫ

Таким образом, полученные результаты наблюдения СС во время магнитных бурь 29–31.X и 20–21.XI.2003 г., обсуждаемый возможный механизм формирования СС, связанный с величиной кольцевого тока, статистика магнитных бурь по D_{st} -индексу и особенности регистрируемого спек-

трального состава позволяют предположить, что СС 30.X и 20.XI.2003 г. могут быть отнесены к экстремально наблюдаемым как в месте локализации геофизической обсерватории ИСЗФ СО РАН, так и в других среднеширотных зонах. Вероятно, что СС 20.XI.2003 г. может также дополнить список наиболее знаменитых сияний (Great aurora), обсуждение которых проводится в ряде работ [11].

Зарегистрированные характеристики СС 20.XI.2003 г. (в частности, интенсивности эмиссии 558 нм \sim 10 кРл, что соответствует классу II полярных сияний по международному коэффициенту яркости) формально позволяют отнести это сияние, по крайней мере, в отдельные интервалы времени к "обычным" формам полярных сияний.

Работа выполнялась при поддержке гранта РФФИ (№ 03-05-64744) и гранта № НШ-272.2003.5 государственной поддержки ведущих научных школ Российской Федерации.

СПИСОК ЛИТЕРАТУРЫ

1. Хорошева О.В. Магнитосферные возмущения и связанная с ними динамика ионосферных электроструй, полярных сияний и плазмопаузы // Геомагнетизм и аэрономия. 1987. Т. 27. № 5. С. 804–811.
2. Rassoul H.K., Rohrbaugh R.P., Tinsley B.A. and Slater D.W. Spectrometric and photometric observations of low-latitude aurorae // J. Geophys. Res. 1993. V. 98. № A5. P. 7695–7709.
3. Shiokawa K., Ogawa T., Oya H. et al. A stable auroral red arc observed over Japan after an interval of very weak solar wind // J. Geophys. Res. 2001. V. 106. № A13. P. 26091–26101.
4. Михалев А.В. Некоторые особенности наблюдений среднеширотных сияний и возмущений эмиссий // Вестник Красноярского государственного университета. Серия: Физика. 2003. № 1. С. 10–15.
5. Mikhalev A.V. Height behavior of the 630 nm emission in mid-latitude auroras during strong magnetic storms // Solar-Terrestrial Magnetic Activity and Space Environment. COSPAR Colloquia Series. 2002. Issue 14. P. 295–297.
6. Трутце Ю.Л. Верхняя атмосфера во время геомагнитных возмущений // Полярные сияния и свечения ночного неба. М.: Наука, 1973. № 20. С. 5–22.
7. Rassoul H.K., Rohrbaugh R.P., Tinsley B.A. Low-latitude particle precipitation and associated local magnetic disturbance // J. Geophys. Res. A. 1992. V. 97. № 4. P. 4041–4052.
8. Горелый К.И., Каракиев В.Д., Иевенко И.Б. и др. Одновременные оптические наблюдения большой магнитной бури 31 марта 2001 г. в Москве, Восточной Сибири и Якутии // Солнечно-земная физика. 2002. Вып. 2(115). С. 265–266.
9. Дегтярев В.И., Михалев А.В. и Jiayao Xu. Вариации свечения ночного неба в Восточной Сибири в период магнитной бури 31 марта – 4 апреля 2001 г. // Оптика атмосферы и океана. 2003. Т. 16. № 5–6. С. 552–556.
10. Miyake Hiroshi, Hirasawa Takeo, Yamoto Kiyohumi, Tanaka Yoshit. Low latitude aurorae on October 21, 1989. I. // Proc. Jap. Acad. B. 1990. V. 66. № 3. P. 47–51.
11. Vallance Jones A. Historical review of great aurora // Can. J. Phys. 1992. V. 70. P. 479–487.
12. Старков Г.В. Планетарная динамика аврорального свечения // Физика околосолнечного космического пространства. Т. 1. Аппараты: Изд. Кольского научного центра РАН, 2000.
13. Фельдштейн Я.И., Гальперин Ю.И. Структура авроральных вторжений в ночном секторе магнитосферы // Космич. исслед. 1996. Т. 34. № 3. С. 227–247.